

蛇含委陵菜的化学成分及抗炎活性研究

张宝¹, 刘佳¹, 匡维米^{2,3}, 蒋礼², 李勇军², 李悦^{1*}

(1. 贵阳市妇幼保健院/贵阳市儿童医院 药学部, 贵阳 550003; 2. 贵州医科大学 贵州省药物制剂重点实验室, 贵阳 550004; 3. 贵州医科大学 药学院, 贵阳 550025)

摘要: 为了研究蛇含委陵菜(*Potentilla kleiniana*)的化学成分及其抗炎活性, 该文利用 D-101 大孔树脂、硅胶及 Toyopearl HW-40F 等色谱技术对蛇含委陵菜 60%乙醇提取物进行分离纯化, 通过核磁共振波谱(NMR)、高分辨质谱(HR-ESI-MS)鉴定化合物的结构, 采用小鼠巨噬细胞(RAW 264.7)体外炎症模型评价化合物的抗炎活性。结果表明: (1) 从蛇含委陵菜中分离得到 15 个化合物, 分别鉴定为 2-(heptadecanoyloxy)propane-1,3-diyl distearate (1)、9,12,13-三羟基-10,15-十八二烯酸(2)、9,12,13-三羟基-10,15-十八二烯酸甲酯(3)、2,2'-氧代双(1,4-二叔丁苯)(4)、大黄素(5)、大黄酚(6)、(6R,9R)-3-酮- α -紫罗兰醇-9-O- β -D-吡喃葡萄糖苷(7)、新穿心莲内酯(8)、甲基- α -D-呋喃果糖苷(9)、1-O- β -D-吡喃果糖- α -D-吡喃阿洛糖苷(10)、对香豆酸(11)、cesterosides A(12)、koaburaside(13)、荭草素(14)、异荭草素(15), 均首次从委陵菜属植物中分离得到。(2) 抗炎实验结果显示, 化合物 1-3、8、11-15 具有一定的 NO 释放抑制活性, 其中化合物 8 在 25 $\mu\text{mol}\cdot\text{L}^{-1}$ 浓度下抑制率为 72.5%。该研究丰富了蛇含委陵菜的植物化学信息, 明确了脂肪酸衍生物、酚性成分及二萜类成分是其抗炎活性成分, 为蛇含委陵菜的进一步开发利用提供理论依据。

关键词: 蛇含委陵菜, 化学成分, 分离纯化, 结构鉴定, 抗炎活性

中图分类号: Q946

文献标识码: A

Chemical constituents from *Potentilla kleiniana* and their anti-inflammatory activity

ZHANG Bao¹, LIU Jia¹, KUANG Weimi^{2,3}, JIANG Li², LI Yongjun², LI Yue^{1*}

(1. Department of Pharmacy, Guiyang Maternal and Child Healthcare Hospital & Guiyang Children's Hospital, Guiyang 550003, China; 2. Guizhou Provincial Key Laboratory of Pharmaceutics, Guizhou Medical University, Guiyang 550004, China; 3. College of Pharmacy, Guizhou Medical University, Guiyang 550025, China)

Abstract: The purpose of this paper is to investigate the chemical constituents of *Potentilla kleiniana* and their anti-inflammatory activity. The 60% ethanol extract of *P. kleiniana* were isolated by D-101 macroporous adsorptive resins, silica gel, Toyopearl HW-40F and other methods, and their chemical structures were elucidated on the basis of NMR and HR-ESI-MS analysis. Meanwhile, the anti-inflammatory activity of the compounds was evaluated by mouse macrophage (RAW 264.7) inflammatory model induced by lipopolysaccharide (LPS) *in vitro*. The results were as follows: (1) Fifteen compounds were isolated and identified from *P. kleiniana* as 2-(heptadecanoyloxy)propane-1,3-diyl distearate (1), 9,12,13-trihydroxy-10,15-octadecadienoic acid

基金项目: 贵州省中医药、民族医药科学技术研究专项(QZYY-2021-176); 贵州省高层次创新人才培养计划项目(20165677) [Supported by Traditional Chinese Medicine, Ethnic Medicine Science and Technology Research Special Project of Guizhou Province (QZYY-2021-176); High-level Innovative Talents Training Program of Guizhou Province (20165677)].

第一作者: 张宝(1993-), 硕士, 主管药师, 主要从事中药药效物质基础及质量控制研究, (E-mail) 1004800340@qq.com.

***通信作者:** 李悦, 硕士, 副主任药师, 主要从事中药药效物质基础及药理学研究, (E-mail) liyue_0407@163.com.

(2), methyl-9,12,13-trihydroxyoctadeca-10,15-dienoate (3), 2,2'-oxybis(1,4-di-tert-butylbenzene) (4), emodin (5), chrysophanol (6), (6R,9R)-3-oxo- α -ionol-9-O- β -D-glucopyranoside (7), neo-andrographolide (8), methyl- α -D-fructofuranosides (9), 1-O- β -D-fructofuranosyl- α -D-allopyranos (10), *p*-coumaric acid (11), cesternosides A (12), koaburaside (13), orientin (14), isoorientin (15). Compounds 1-15 were obtained from *Potentilla* genus for the first time. (2) The anti-inflammatory test results showed that compounds 1-3, 8, and 11-15 had moderate inhibitory activities on NO production, and the inhibition rate of 8 was 72.5% at the concentrations of 25 $\mu\text{mol}\cdot\text{L}^{-1}$. In conclusion, the study enriches the phytochemical information of *P. kleiniana*, and clarifies that fatty acid derivatives, phenolic components and diterpenoids are anti-inflammatory active components, which provide a theoretical basis for further exploitation of *P. kleiniana*.

Key words: *Potentilla kleiniana*, chemical constituents, isolation and purification, structural identification, anti-inflammatory activity

蛇含委陵菜 (*Potentilla kleiniana*) 为蔷薇科委陵菜属一年生、二年生或多年生宿根草本植物, 又名五匹风、五皮风、地五甲、五爪龙等, 在我国主要分布于广西、贵州、云南、四川等地 (中国科学院中国植物志编辑委员会, 1985; 贵州省中药材、民族药材质量标准编审委员会, 2003)。蛇含委陵菜味苦、性微寒, 归肝、肺经, 具有祛风止咳、搜风剔邪、清热解毒等功效, 在贵州省苗族、布依族及侗族等少数民族地区常用于治疗肺炎、风湿关节炎等炎性疾病 (罗迎春和孙庆文, 2013)。目前对蛇含委陵菜的化学成分及生物活性鲜有研究, 已报道的化学成分主要包括三萜类和黄酮类 (黄易安, 2008; 李胜华等, 2011), 生物活性侧重于提取物的抗菌、抗炎、降糖活性筛选 (李胜华等, 2014; 张晨光等, 2018; Liu et al., 2019), 其抗炎物质基础不明确。为了进一步丰富该药用植物的化学成分信息, 明确其抗炎活性物质, 促进其开发利用, 本研究以黔产蛇含委陵菜全株为研究对象, 采用现代色谱分离技术、光谱学手段及药理学方法, 拟探讨: (1) 蛇含委陵菜 60% 乙醇提取物的化学成分; (2) 分离得到的化合物的体外抗炎活性。

1 材料与仪器

1.1 材料

蛇含委陵菜药材采自贵州省贵阳市花溪区高坡乡, 经贵州医科大学刘春花副教授鉴定为蔷薇科植物蛇含委陵菜 (*Potentilla kleiniana*) 全草 (图 1)。标本保存于贵州医科大学贵州省药物制剂重点实验室, 凭证号为 NO.20210416。

1.2 仪器

高分辨质谱仪 (Theemo Fisher Q Exactive-Plus 四级杆-静电场轨道阱, Theemo Fisher Scientific 公司, 美国); 核磁共振波谱仪 (Bruker AV-600 型, Bruker 公司, 德国; JEOL-ECS-400 MHz 型, JEOL, 日本); 旋转蒸发仪 (BUCHIR-300 型, BUCHI 公司, 瑞士); 超纯水机 (KZ-20L 型, 上海科制环保设备有限公司); MCI (CHP20/P120, 三菱公司, 日本); D-101 大孔树脂 (天津市海光化工有限公司); 柱层析硅胶及硅胶 GF₂₅₄ 预制板 (青岛海洋化工厂); Sephadex LH-20 (Pharmacia Biotech 公司, 瑞士); Toyopearl HW 40F (JEOL, 日本); 电热恒温培养箱 (DHP-9052 型, 上海一恒科学仪器有限公司)。

1.3 试剂

DMEM 高糖培养基、胎牛血清 (fetal bovine serum, FBS) (Gibco 公司, 美国); CCK-8 试剂盒 (Glpbio 公司, 美国); NO 试剂盒 (南京建成生物工程研究所); 脂多糖 (lipopolysaccharide, LPS) (北京索莱宝科技有限公司); 地塞米松 (上海甄准生物科技有限公司); 小鼠巨噬细胞 RAW 264.7 (美国模式培养物集存库, 美国)。其余化学试剂均

为分析纯。



图 1 蛇含委陵菜标本

Fig.1 The sample of *Potentilla kleiniana*

2 实验方法

2.1 提取与分离

取蛇含委陵菜干燥全草 15 kg，粉碎后用乙醇-水（60:40，*V/V*）回流提取 3 次（2、1.5、1.5 h），提取液合并后减压浓缩至浸膏（2.1 kg）。浸膏加入适量蒸馏水，超声震荡分散，经 D-101 大孔树脂，用乙醇-水（0:100，50:50，95:5，*V/V*）洗脱，收集各部分洗脱液，减压浓缩。其中 50%乙醇部位（428 g）经正相硅胶柱层析（硅胶：200~300 目；洗脱剂：氯仿-甲醇 50:1~1:1，*V/V*）洗脱，得到 9 个组分（Fr.A~I）。

Fr.B 减压浓缩并放至室温后析出少量难溶性粉末状沉淀，过滤沉淀备用，滤液经正相硅胶柱层析（硅胶：300~400 目；洗脱剂：二氯甲烷-甲醇 100:1，*V/V*）得到 Fr.B1~B3。Fr.B3 经正相硅胶柱层析（硅胶：300~400 目；洗脱剂：石油醚-丙酮 20:1，*V/V*）得到 Fr.B3.1~3.6。Fr.B3.6 依次经过 Sephadex LH-20（二氯甲烷-甲醇 1:1，*V/V*）、正相硅胶（硅胶：300~400 目；洗脱剂：二氯甲烷-甲醇 100:1，*V/V*）柱层析纯化，得化合物 **1**（10.4 mg）、**6**（15.1 mg）。

Fr.C 经正相硅胶柱层析（硅胶：200~300 目；洗脱剂：石油醚-乙酸乙酯 20:1~1:1，*V/V*）梯度洗脱得到 Fr.C1~C4。Fr.C2~C4 经反复正相硅胶、Sephadex LH-20（二氯甲烷-甲醇 1:1，*V/V*）、Toyopearl HW-40F（二氯甲烷-甲醇 1:1，*V/V*）、ODS（甲醇-水 80:20~95:5，*V/V*）柱层析纯化，最终得到化合物 **2**（11.8 mg）、**3**（13.2 mg）、**4**（2.9 mg）、**5**（11.3 mg）、**8**（6.3 mg）、**11**（5.3 mg）。

Fr.D 经 MCI 柱层析，乙醇-水（30:70，40:60，50:50，60:40，70:30，80:20，90:10，100:0，*V/V*）梯度洗脱得到 Fr.D1~D8。Fr.D2 减压浓缩并放至室温后析出少量难溶性粉末状沉淀，过滤沉淀备用，滤液经正相硅胶柱层析（硅胶：300~400 目；洗脱剂：二氯甲烷-甲醇 20:1，*V/V*）得 6 个组分，其中 Fr.D2.3~D2.4 经反复 Sephadex LH-20（甲醇）、ODS（甲醇-水 30:70~60:40，*V/V*）、Toyopearl HW-40F（甲醇）纯化，得化合物 **7**（7.2 mg）、**12**（12.3 mg）。Fr.D4 经正相硅胶柱层析（硅胶：300~400 目；洗脱剂：二氯甲烷-甲醇 10:1~2:1，*V/V*）得 9 个组分，其中 Fr.D4.5 依次经 Sephadex LH-20（甲醇）、半制备 HPLC [22%甲醇-水溶液洗脱]得化合物 **14**（3.8 mg）、**15**（4.1 mg）。

Fr.F 经 Sephadex LH-20 凝胶柱色谱（甲醇）得到 Fr.F1~F6，其中 Fr.F2 经 Sephadex LH-

20 凝胶柱色谱（甲醇）得 Fr.F2.1~F2.2。Fr.F2.2 经反复正相硅胶（硅胶：300~400 目；洗脱剂：二氯甲烷-甲醇 10:1~2:1, V/V ）、Sephadex LH-20（甲醇）、Toyopearl HW-40F（甲醇）柱层析纯化，得化合物 **9**（19.0 mg）、**10**（95.9 mg）、**13**（5.5 mg）。

2.2 抗炎活性测试

安全浓度考察：采用 CCK-8 法考察各化合物的安全浓度，分别给予不同浓度的化合物溶液作用于 RAW 264.7 细胞 24 h 后检测细胞活力，通过细胞存活率确定化合物的安全浓度范围。

取对数生长期 RAW 264.7 细胞（调整细胞浓度为每毫升 3×10^5 个）接种于 96 孔板中，每孔 100 μL ，实验设置空白对照组、模型组、地塞米松组（阳性药组）和药物组（待测化合物），每组设置 3 个平行孔，于培养箱中培养 24 h。细胞同时用 $0.25 \mu\text{g} \cdot \text{mL}^{-1}$ LPS 和不同浓度梯度的待测化合物刺激 24 h 后，收集上清液，按照试剂盒说明书检测方法测定 NO 的含量，计算 NO 释放抑制率。

3 结果与分析

3.1 结构鉴定

化合物 **1** 白色无定型粉末，易溶于氯仿、吡啶、DMSO，难溶于甲醇、丙酮。HR-ESI-MS m/z : 899.803 5 $[\text{M}+\text{Na}]^+$ ($\text{C}_{56}\text{H}_{108}\text{O}_6\text{Na}$, 理论值: 899.803 8)，结合 ^1H -NMR 和 ^{13}C -NMR 推测分子式为 $\text{C}_{56}\text{H}_{108}\text{O}_6$ 。 ^1H -NMR (400 MHz, CDCl_3) 谱显示 108 个质子信号，从低场至高场区依次为 1 个次甲基质子信号 [δ : 5.24 (1H, m, H-2)]、49 个亚甲基质子信号 [δ : 4.27 (2H, dd, $J = 12.0, 4.8$ Hz, H-1a, 3a), 4.12 (2H, dd, $J = 12.0, 6.0$ Hz, H-1b, 3b), 2.29 (6H, m, H-2', 2'', 2'''), 1.58 (6H, m, H-3', 3'', 3'''), 1.24 (82H, overlap, H-4'-17', 4''-16'', 4'''-17''')]、3 个甲基质子信号 [δ : 0.85 (9H, t, $J = 6.8$ Hz, H-18', 17'', 18''')]。由 ^{13}C -NMR 和 HMQC 谱推测，该结构中包含 3 个羰基碳信号 [δ : 173.3 (C-1', 1''), 172.9 (C-1''')]、2 个连氧亚甲基碳信号 [δ : 62.1 (C-1, 3)]、1 个连氧次甲基碳信号 [δ : 68.8 (C-2)]、3 个甲基碳信号 [δ : 14.1 (C-18', 17'', 18''')]，余下碳信号为亚甲基信号。该化合物的 ^1H -NMR 和 ^{13}C -NMR 数据与文献 (Abdulmumeen et al., 2017) 报道的化合物 1,2,3-propanetriyl tris(hexadecanoate) 相似，区别仅在于化合物 **1** 高场区多 5 个 $-\text{CH}_2-$ 信号。综合 HR-ESI-MS、 ^1H -NMR 和 ^{13}C -NMR 数据分析，推测化合物为 2-(heptadecanoyloxy)propane-1,3-diyl distearate。文献检索未发现 2-(heptadecanoyloxy)propane-1,3-diyl distearate 的核磁数据，通过 HMQC 和 HMBC 进一步确证该化合物的结构，见图 2 和表 1。HMBC 谱显示，H-1b/C-1'、H-3b/C-1'''、H-1a/C-1'、H-3a/C-1'''、H-1b/C-2 和 H-3b/C-2 可确证并归属甘油三酯基本骨架。H-2', 2'', 2''' 分别与 C-1', 1'', 1''' 相关，H-3', 3'', 3''' 分别与 C-1', 1'', 1''' 和 C-4', 4'', 4''' 相关，H-18', 17'', 18''' 分别与 C-17', 16'', 17''' 和 C-16', 15'', 16''' 相关，可确证烷烃片段的连接并归属其核磁数据。

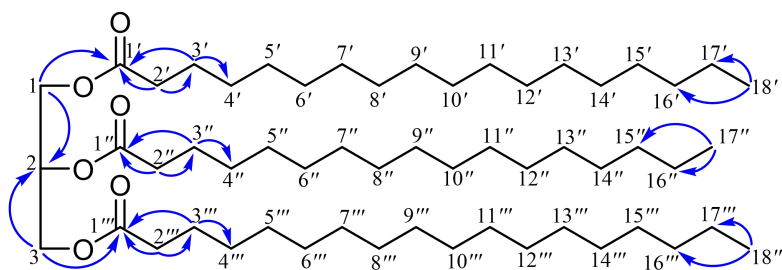


图 2 化合物 **1** 主要的 HMBC 相关

Fig.2 Key HMBC correlations of Compound **1**

表 1 化合物 1 的 ¹H-NMR (400 MHz, CDCl₃)和 ¹³C-NMR (100 MHz, CDCl₃) 数据

Table 1 ¹H-NMR (400 MHz, CDCl₃) and ¹³C-NMR (100 MHz, CDCl₃) of Compound 1

位置 Position	δ _H	δ _C
1, 3	4.27 (2H, dd, <i>J</i> = 12.0, 4.8 Hz)	62.1×2
	4.12 (2H, dd, <i>J</i> = 12.0, 6.0 Hz)	—
2	5.24 (1H, m)	68.8
1',1'''	—	173.3×2
1''	—	172.9
2'',2',2'''	2.29 (6H, m)	34.2, 34.0×2
3'',3',3'''	1.58 (6H, m)	24.9, 24.8×2
4',4'',4'''		29.1×3
5',5'',5'''		29.4×3
6',6'',6'''		29.3×3
7',7'',7'''		29.7×3
8',8'',8'''	1.24 (82H, overlap)	29.5×3
9'-15',9''-14'',9'''-15'''		29.7×20
16',15'',16'''		31.9×3
17',16'',17'''		22.7×3
18',17'',18'''	0.85 (9H, t, <i>J</i> = 6.8 Hz)	14.1×3

化合物 2 透明油状物。HR-ESI-MS *m/z*: 327.217 7 [M-H]⁻ (C₁₈H₃₁O₅, 理论值: 327.217 7), 分子式为 C₁₈H₃₂O₅。 ¹H-NMR (400 MHz, CD₃OD) δ: 5.57 (2H, m, H-10, 11), 5.41 (1H, m, H-16), 5.35 (1H, m, H-15), 3.89 (1H, dd, *J* = 10.8, 6.0 Hz, H-9), 3.79 (1H, t, *J* = 4.8 Hz, H-13), 3.27 (1H, m, H-12), 2.19 (1H, m, H-14a), 1.97 (2H, m, H-17), 1.92 (1H, m, H-14b), 1.88 (2H, m, H-2), 1.39 (2H, m, H-4), 1.32 (2H, m, H-8), 1.25 (2H, m, H-3), 1.21 (6H, m, H-5, 6, 7), 0.90 (3H, t, *J* = 7.8 Hz, H-18); ¹³C-NMR (100 MHz, CD₃OD) δ: 177.1 (C-1), 134.5 (C-10), 131.8 (C-15), 129.8 (C-11), 126.7 (C-16), 74.0 (C-12), 73.7 (C-13), 70.7 (C-9), 38.0 (C-2), 37.4 (C-8), 30.2 (C-14), 29.2 (C-5), 29.1 (C-6, 7), 26.3 (C-4), 24.9 (C-3), 20.2 (C-17), 14.2 (C-18)。以上数据与文献 (李帅等, 2003) 报道基本一致, 故鉴定为 9,12,13-三羟基-10,15-十八碳二烯酸。

化合物 3 淡黄色粉末。HR-ESI-MS *m/z*: 341.233 1 [M-H]⁻ (C₁₉H₃₃O₅, 理论值: 341.232 3), 分子式为 C₁₉H₃₄O₅。 ¹H-NMR (400 MHz, CD₃OD) δ: 5.69 (2H, m, H-10, 11), 5.45 (2H, m, H-15, 16), 4.06 (1H, m, H-9), 3.95 (1H, m, H-12), 3.64 (3H, s, -OCH₃), 3.45 (1H, m, H-13), 2.31 (3H, m, H-2, 14a), 2.08 (3H, m, H-14b, 17), 1.59 (2H, m, H-3), 1.49 (2H, m, H-8), 1.32 (8H, s, H-4, 5, 6, 7), 0.96 (3H, t, *J* = 7.6 Hz, H-18); ¹³C-NMR (100 MHz, CD₃OD) δ: 176.0 (C-1), 136.5 (C-10), 134.3 (C-15), 131.1 (C-11), 126.4 (C-16), 75.9 (C-12), 75.8 (C-13), 73.0 (C-9), 52.0 (-OCH₃), 38.3 (C-8), 34.8 (C-2), 31.5 (C-14), 30.6 (C-7), 30.4 (C-6), 30.2 (C-5), 26.5 (C-4), 26.0 (C-3), 21.7 (C-17), 14.6 (C-18)。以上数据与文献 (杨炳友等, 2017) 报道基本一致, 故鉴定为 9,12,13-三羟基-10,15-十八碳二烯酸甲酯。

化合物 4 黄色油状物。HR-ESI-MS *m/z*: 395.331 6 [M+H]⁺ (C₂₈H₄₃O, 理论值: 395.330 8), 分子式为 C₂₈H₄₂O。 ¹H-NMR (400 MHz, CD₃OD) δ: 7.45 (2H, d, *J* = 8.8 Hz, H-6, 6'), 7.45 (2H, d, *J* = 2.4 Hz, H-3, 3'), 7.21 (2H, dd, *J* = 8.8, 2.4 Hz, H-5, 5'), 1.33 (18H, s, H-12-14, H-12'-14'), 1.30 (18H, s, H-8-10, H-8'-10'); ¹³C-NMR (100 MHz, CD₃OD) δ: 149.1 (C-2, 2'), 148.8 (C-1, 1'), 139.9 (C-4), 139.8 (C-4'), 125.9 (C-3, 3'), 125.2 (C-5, 5'), 120.0 (C-6, 6'), 35.9 (C-7, 7'), 35.5 (C-11, 11'), 31.8 (C-8-10, 8'-10'), 30.8 (C-12-14, 12'-14')。以上数据与文献 (Cao et al., 2020) 报道基本一致, 故鉴定为 2,2'-氧代双 (1,4-二叔丁苯)。

化合物 5 黄色粉末。HR-ESI-MS *m/z*: 269.045 5 [M-H]⁻ (C₁₅H₉O₅, 理论值: 269.045 6), 分子式为 C₁₅H₁₀O₅。 ¹H-NMR (400 MHz, DMSO-*d*₆) δ: 12.03 (1H, s, 1-OH), 11.96 (1H, s, 8-OH), 11.27 (1H, s, 6-OH), 7.46 (1H, s, H-4), 7.13 (1H, s, H-2), 7.10 (1H, d, *J* = 2.4 Hz, H-5), 6.57 (1H, d, *J* = 2.4 Hz, H-7), 2.40 (3H, s, -CH₃); ¹³C-NMR (100 MHz, DMSO-*d*₆) δ: 189.6 (C-9), 181.2 (C-10), 165.5 (C-6), 164.4 (C-8), 161.4 (C-1), 148.2 (C-3), 135.0 (C-10a), 132.7 (C-4a),

124.1 (C-2), 120.4 (C-4), 113.3 (C-9a), 108.9 (C-8a), 108.7 (C-5), 107.9 (C-7), 21.5 (-CH₃)。以上数据与文献 (Kharlamova, 2007) 报道基本一致, 故鉴定为大黄素。

化合物 **6** 黄色粉末。HR-ESI-MS m/z : 253.050 6 [M-H]⁻ (C₁₅H₉O₄, 理论值: 253.049 5), 分子式为 C₁₅H₁₀O₄。¹H-NMR (400 MHz, DMSO-*d*₆) δ : 7.79 (1H, dd, J = 8.4, 7.6 Hz, H-6), 7.69 (1H, dd, J = 7.6, 1.2 Hz, H-5), 7.53 (1H, d, J = 1.2 Hz, H-4), 7.37 (1H, dd, J = 8.4, 1.2 Hz, H-7), 7.20 (1H, d, J = 1.2 Hz, H-2); ¹³C-NMR (100 MHz, DMSO-*d*₆) δ : 191.6 (C-9), 181.4 (C-10), 161.5 (C-8), 161.3 (C-1), 149.1 (C-3), 137.3 (C-6), 133.3 (C-10a), 133.0 (C-4a), 124.4 (C-2), 124.0 (C-7), 120.5 (C-4), 119.3 (C-5), 115.8 (C-8a), 113.7 (C-9a), 21.6 (-CH₃)。以上数据与文献 (Zhou et al., 2006) 报道基本一致, 故鉴定为大黄酚。

化合物 **7** 白色粉末。HR-ESI-MS m/z : 393.187 9 [M+Na]⁺ (C₁₉H₃₀O₇Na, 理论值: 393.188 4), 分子式为 C₁₉H₃₀O₇。¹H-NMR (400 MHz, CD₃OD) δ : 5.87 (1H, s, H-4), 5.77 (1H, dd, J = 15.2, 6.4 Hz, H-8), 5.63 (1H, dd, J = 15.2, 9.2 Hz, H-7), 4.38 (1H, m, H-9), 3.81 (1H, dd, J = 11.6, 2.0 Hz, H-6' α), 3.65 (1H, dd, J = 11.6, 5.2 Hz, H-6' β), 2.67 (1H, d, J = 9.2, H-6), 2.42 (1H, d, J = 16.8, H-2 α), 2.04 (1H, d, J = 16.8, H-2 β), 1.93 (3H, d, J = 0.8, H-13), 1.28 (3H, d, J = 6.4, H-10), 1.00 (3H, s, H-11), 1.02 (3H, s, H-12); ¹³C-NMR (100 MHz, CD₃OD) δ : 202.0 (C-3), 165.8 (C-5), 138.2 (C-8), 128.8 (C-7), 126.1 (C-4), 102.4 (C-1'), 78.1 (C-5'), 78.0 (C-3'), 77.0 (C-9), 75.2 (C-2'), 71.5 (C-4'), 62.7 (C-6'), 56.7 (C-6), 37.1 (C-1), 28.0 (C-12), 27.6 (C-16), 23.8 (C-13), 21.0 (C-10)。以上数据与文献 (彭冰等, 2014) 报道基本一致, 故鉴定为(6*R*,9*R*)-3-酮- α -紫罗兰醇-9-*O*- β -D-吡喃葡萄糖苷。

化合物 **8** 白色粉末。HR-ESI-MS m/z : 503.260 7 [M+Na]⁺ (C₂₆H₄₀O₈Na, 理论值: 503.261 5), 分子式为 C₂₆H₄₀O₈。¹H-NMR (400 MHz, C₅D₅N) δ : 7.15 (1H, t, J = 1.6 Hz, H-14), 4.90 (1H, s, H-17b), 4.83 (1H, d, J = 7.6 Hz, H-1'), 4.72 (1H, s, H-17a), 4.33 (1H, d, J = 9.6 Hz, H-19b), 3.49 (1H, d, J = 9.6 Hz, H-19a), 1.19 (3H, s, 18-CH₃), 0.64 (3H, s, 20-CH₃); ¹³C-NMR (100 MHz, C₅D₅N) δ : 174.6 (C-16), 148.2 (C-8), 145.4 (C-14), 134.2 (C-13), 107.0 (C-17), 105.5 (C-1'), 78.8 (C-3'), 78.4 (C-5'), 75.4 (C-2'), 72.6 (C-19), 71.8 (C-4'), 70.6 (C-15), 62.9 (C-6'), 56.7 (C-9), 56.2 (C-5), 39.8 (C-4), 39.1 (C-1), 38.8 (C-7), 38.7 (C-10), 36.4 (C-3), 28.2 (C-18), 25.0 (C-12), 24.7 (C-6), 22.1 (C-11), 19.4 (C-12), 15.5 (C-20)。以上数据与文献 (Sun et al., 2019) 报道基本一致, 故鉴定为新穿心莲内酯。

化合物 **9** 白色粉末。HR-ESI-MS m/z : 217.068 0 [M+Na]⁺ (C₇H₁₄O₆Na, 理论值: 217.068 3), 分子式为 C₇H₁₄O₆。¹H-NMR (400 MHz, CD₃OD) δ : 4.02 (1H, d, J = 4.0 Hz, H-3), 3.88 (1H, dd, J = 6.4, 4.4 Hz, H-4), 3.83 (1H, m, H-5), 3.73 (1H, t, J = 3.2 Hz, H-1a), 3.69 (1H, s, H-1b), 3.62 (2H, m, H-6), 3.30 (3H, s, -OCH₃); ¹³C-NMR (100 MHz, CD₃OD) δ : 109.2 (C-2), 84.6 (C-5), 82.5 (C-3), 78.9 (C-4), 62.8 (C-6), 60.5 (C-1), 48.9 (-OCH₃)。以上数据与文献 (尹宏权等, 2006) 报道基本一致, 故鉴定为甲基- α -D-呋喃果糖苷。

化合物 **10** 白色固体。HR-ESI-MS m/z : 343.121 6 [M+H]⁺ (C₁₂H₂₃O₁₁, 理论值: 343.123 5), 分子式为 C₁₂H₂₂O₁₁。¹H-NMR (400 MHz, CD₃OD) δ : 4.87 (1H, overlap, H-1'), 4.13 (2H, overlap, H-4, 5), 4.01 (1H, overlap, H-3), 3.90 (2H, overlap, H-2', 3'), 3.78 (2H, overlap, H-6b, 6'b), 3.74 (2H, overlap, H-4', 5'), 3.63 (1H, overlap, H-1), 3.45 (2H, overlap, H-6a, 6'a); ¹³C-NMR (100 MHz, CD₃OD) δ : 102.8 (C-2), 99.0 (C-1'), 82.5 (C-5), 77.1 (C-4), 76.2 (C-3), 71.3 (C-2'), 70.8 (C-5'), 69.0 (C-3'), 65.5 (C-4'), 64.2 (C-1, 6'), 63.8 (C-6)。以上数据与文献 (Ye et al., 2020) 报道基本一致, 故鉴定为1-*O*- β -D-吡喃果糖- α -D-吡喃阿洛糖苷。

化合物 **11** 白色粉末。HR-ESI-MS m/z : 163.039 1 [M-H]⁻ (C₉H₇O₃, 理论值: 163.040 1), 分子式为 C₉H₈O₃。¹H-NMR (600 MHz, DMSO-*d*₆) δ : 7.49 (2H, d, J = 8.4 Hz, H-3, 5), 7.47 (1H, d, J = 16.2 Hz, H-7), 6.79 (2H, d, J = 8.4 Hz, H-2, 6), 6.29 (1H, d, J = 16.2 Hz, H-8);

^{13}C -NMR (150 MHz, DMSO- d_6) δ : 168.4 (C-9), 159.6 (C-4), 143.7 (C-7), 132.0 (C-6), 130.0 (C-2), 125.4 (C-1), 115.8 (C-3, 5), 114.9 (C-8)。以上数据与文献 (屈坤玥等, 2020) 报道基本一致, 故鉴定为对香豆酸。

化合物 **12** 白色粉末。HR-ESI-MS m/z : 367.135 7 $[\text{M}+\text{Na}]^+$ ($\text{C}_{16}\text{H}_{24}\text{O}_8\text{Na}$, 理论值: 367.136 3), 分子式为 $\text{C}_{16}\text{H}_{24}\text{O}_8$ 。 ^1H -NMR (400 MHz, CD_3OD) δ : 6.15 (1H, d, $J = 2.4$ Hz, H-5), 6.13 (1H, d, $J = 2.4$ Hz, H-3), 4.43 (1H, d, $J = 7.8$ Hz, H-1'), 3.83 (1H, dd, $J = 12.0, 2.4$ Hz, H-6'a), 3.78 (1H, dd, $J = 12.0, 4.2$ Hz, H-6'b), 3.49 (2H, overlap, H-7, 4'), 3.47 (1H, overlap, H-2'), 3.42 (1H, d, $J = 9.0$ Hz, H-3'), 3.24 (1H, m, H-5'), 1.58 (1H, m, H-8a), 1.50 (1H, m, H-8b), 1.08 (3H, d, $J = 7.2$ Hz, H-10), 0.87 (3H, t, $J = 7.2$ Hz, H-9); ^{13}C -NMR (100 MHz, CD_3OD) δ : 156.1 (C-4), 151.5 (C-6), 143.9 (C-2), 138.2 (C-1), 108.2 (C-1'), 104.7 (C-3), 102.1 (C-5), 78.4 (C-5'), 78.2 (C-3'), 75.6 (C-2'), 71.0 (C-4'), 62.2 (C-6'), 33.7 (C-7), 31.5 (C-8), 22.2 (C-10), 12.6 (C-9)。以上数据与文献 (Sahai et al., 1994) 报道基本一致, 故鉴定为 cesternosides A。

化合物 **13** 白色粉末。HR-ESI-MS m/z : 355.099 0 $[\text{M}+\text{Na}]^+$ ($\text{C}_{14}\text{H}_{20}\text{O}_9\text{Na}$, 理论值: 355.099 9), 分子式为 $\text{C}_{14}\text{H}_{20}\text{O}_9$ 。 ^1H -NMR (400 MHz, DMSO- d_6) δ : 7.72 (1H, s, 4-OH), 6.38 (2H, s, H-2, 6), 4.67 (1H, d, $J = 7.2$ Hz, H-1'), 3.71 (6H, s, $2\times\text{-OCH}_3$); ^{13}C -NMR (100 MHz, DMSO- d_6) δ : 150.2 (C-4), 148.1 (C-2, 6), 130.5 (C-1), 101.6 (C-1'), 95.3 (C-3, 5), 77.0 (C-5'), 76.7 (C-3'), 73.2 (C-2'), 70.1 (C-4'), 60.8 (C-6'), 55.8 ($2\times\text{-OCH}_3$)。以上数据与文献 (Wu et al., 2013) 报道基本一致, 故鉴定为 koaburaside。

化合物 **14** 黄色粉末。HR-ESI-MS m/z : 471.089 0 $[\text{M}+\text{Na}]^+$ ($\text{C}_{21}\text{H}_{20}\text{O}_{11}\text{Na}$, 理论值: 471.089 8), 分子式为 $\text{C}_{21}\text{H}_{20}\text{O}_{11}$ 。 ^1H -NMR (600 MHz, DMSO- d_6) δ : 13.18 (1H, s, 5-OH), 7.53 (1H, d, $J = 8.4$ Hz, H-6'), 7.47 (1H, s, H-2'), 6.85 (1H, d, $J = 8.4$ Hz, H-5'), 6.63 (1H, s, H-3), 6.25 (1H, s, H-6), 4.68 (1H, d, $J = 10.2$ Hz, H-1''); ^{13}C -NMR (150 MHz, DMSO- d_6) δ : 182.0 (C-4), 164.0 (C-2), 162.2 (C-7), 160.4 (C-5), 156.0 (C-9), 149.9 (C-4'), 145.9 (C-3'), 121.8 (C-1'), 119.4 (C-6'), 115.7 (C-5'), 114.0 (C-2'), 104.6 (C-8, 10), 102.4 (C-3), 98.2 (C-6), 82.0 (C-5'), 78.8 (C-3'), 73.4 (C-1''), 70.8 (C-2''), 70.7 (C-4''), 61.7 (C-6'')。以上数据与文献 (吴洪新等, 2009) 报道基本一致, 故鉴定为荭草素。

化合物 **15** 黄色粉末。HR-ESI-MS m/z : 471.089 4 $[\text{M}+\text{Na}]^+$ ($\text{C}_{21}\text{H}_{20}\text{O}_{11}\text{Na}$, 理论值: 471.089 8), 分子式为 $\text{C}_{21}\text{H}_{20}\text{O}_{11}$ 。 ^1H -NMR (600 MHz, DMSO- d_6) δ : 13.57 (1H, s, 5-OH), 7.42 (1H, dd, $J = 8.4, 2.4$ Hz, H-6'), 7.40 (1H, d, $J = 2.4$ Hz, H-2'), 6.89 (1H, d, $J = 8.4$ Hz, H-5'), 6.68 (1H, s, H-3), 6.48 (1H, s, H-8), 4.58 (1H, d, $J = 9.6$ Hz, H-1''); ^{13}C -NMR (150 MHz, DMSO- d_6) δ : 181.9 (C-4), 163.7 (C-2), 163.3 (C-7), 160.7 (C-5), 156.2 (C-9), 149.7 (C-4'), 145.8 (C-3'), 121.4 (C-1'), 119.0 (C-6'), 116.1 (C-5'), 113.3 (C-2'), 108.9 (C-6), 103.4 (C-10), 102.8 (C-3), 93.5 (C-8), 81.6 (C-5''), 79.0 (C-3''), 73.0 (C-1''), 70.6 (C-2''), 70.2 (C-4''), 61.5 (C-6'')。以上数据与文献 (吴洪新等, 2009) 报道基本一致, 故鉴定为异荭草素。

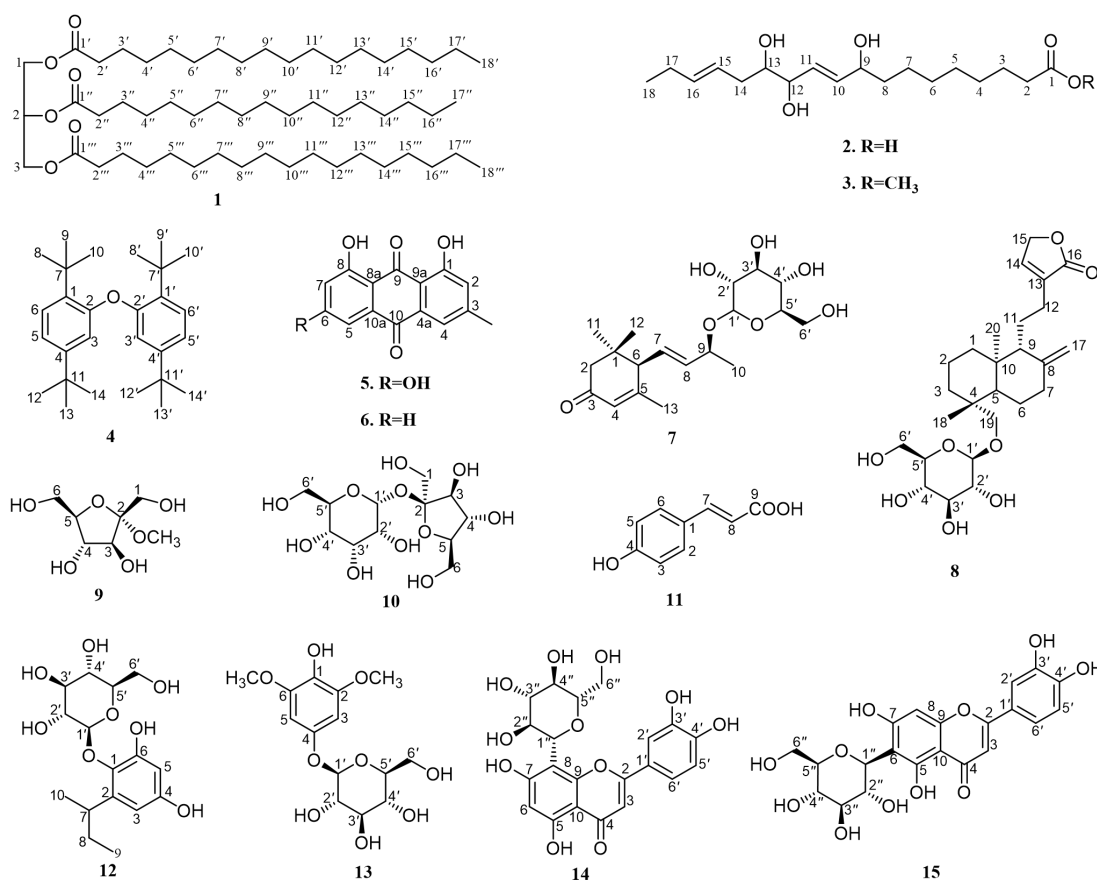


图 3 化合物 1-15 化学结构式
Fig.3 Chemical structures of compounds 1-15

3.2 抗炎活性测试结果

CCK-8 细胞毒性测试结果显示，化合物 1-4、6-15 在 25 $\mu\text{mol}\cdot\text{L}^{-1}$ 时，化合物 5 在 12.5 $\mu\text{mol}\cdot\text{L}^{-1}$ 时无明显毒性，故选择相应浓度下进行 NO 抑制活性实验。由表 2 可知，化合物 1-3（脂肪酸及其衍生物）、化合物 8（二萜类）、化合物 11-15（酚类）显示出一定的 NO 释放抑制活性，表明这些成分具有一定的抗炎活性，可能是蛇含委陵菜抗炎活性物质。

表 2 化合物 1-15 的 NO 释放抑制率 ($\bar{x}\pm s, n=3$)

Table 2 NO production inhibition rate of compounds 1-15 ($\bar{x}\pm s, n=3$)			
化合物 Compound	浓度 Concentration ($\mu\text{mol}\cdot\text{L}^{-1}$)	抑制率 Inhibition rate (%)	
1	25	50.3 \pm 2.1	
2	25	56.2 \pm 1.3	
3	25	58.6 \pm 1.5	
4	25	18.9 \pm 2.5	
5	12.5	10.8 \pm 1.8	
6	25	25.5 \pm 3.1	
7	25	28.3 \pm 2.3	
8	25	72.5 \pm 2.7	
9	25	12.2 \pm 2.9	
10	25	18.5 \pm 2.5	
11	25	58.0 \pm 1.6	
12	25	63.8 \pm 1.1	
13	25	66.4 \pm 1.3	
14	25	62.5 \pm 1.2	
15	25	55.0 \pm 1.9	
地塞米松 Dexamethasone	25	81.5 \pm 1.2	

4 讨论与结论

蛇含委陵菜是贵州苗族、侗族等少数民族习用药材，主要用于风湿性关节炎、乳腺炎、肺炎等疾病的治疗。目前，蛇含委陵菜的化学成分及其抗炎活性研究较少。该研究从蛇含委陵菜 60%乙醇提取物中分离得到 15 个化合物，均首次从委陵菜属植物中分离得到，包括脂肪酸衍生物（1-3）、二苯醚类化合物（4）、蒽醌类化合物（5, 6）、萜类化合物（7, 8）、苯丙素类化合物（11）、酚苷类化合物（12, 13）、黄酮苷类化合物（14, 15）及其他（9, 10）。

脂多糖可诱导巨噬细胞 NF- κ B 信号通路的激活，从而促进炎症因子的释放和 NO 的合成，而 NO 又与 AMPK/ NF- κ B、TLR/ NF- κ B 等通路的调节密切相关（安莉和孙丕忠，2020）。因此，本研究采用 LPS 诱导的小鼠巨噬细胞（RAW 264.7）体外炎症模型，通过测定 NO 释放抑制率来评价化合物的抗炎活性。抗炎结果表明化合物 1-3（脂肪酸及其衍生物）、化合物 8（二萜类）、化合物 11-15（酚性成分）具有一定的抗炎活性，其中新穿心莲内酯（8）在 25 $\mu\text{mol}\cdot\text{L}^{-1}$ 浓度下抑制率为 72.5%。据文献报道，碳十八碳烷酸及其衍生物大多具有较好的抗炎活性（张俊卿等，2021），化合物 1-3 可能通过参与 NF- κ B 激活的调节、影响膜磷脂组成和脂质微结构域功能的改变从而产生抗炎作用，反相调节 NO 释放（Allijn et al., 2019）。新穿心莲内酯（8）对 NO 释放具有显著的抑制作用，其可能通过清除 NO 自由基，阻断信号传递而产生抗炎作用（刘峻和王峥涛，2005），提示该化合物具有抗炎及免疫调节作用，具有作为抗炎先导化合物进行结构修饰的潜在价值。荭草素（14）和异荭草素（15）能够有效减少 LPS 诱导的炎症因子释放（NO、TNF- α 以及 IL-1 β ），抑制 MAPK 家族激酶及 NF- κ B 等上游信号通路相关蛋白活化，降低促炎因子的表达，从而抑制炎症反应（罗成等，2016；万思琦等，2018）。各类物质的抗炎作用机制不尽相同，通过多成分协同发挥抗炎作用。

本研究进一步丰富了蛇含委陵菜的植物化学信息及化合物结构类型，明确了脂肪酸衍生物、二萜及酚性成分是其潜在的抗炎物质，为深入探索蛇含委陵菜的化学成分及抗炎机制奠定了基础，也为该药用植物的进一步开发利用提供科学依据。

参考文献：

- ABDULMUMEEN AH, OLAPEJU OA, FATIMA K, et al., 2017. Isolation, characterization and antiproliferative evaluation of constituents from stem extracts of *Alafia barteri* Oliv. Hook. F. [J]. Med Chem Res, 26(12): 3407-3416.
- ALLIJN IE, BRINKHUIS P, STORM G, et al., 2019. Anti-inflammatory properties of plant derived natural products-a systematic review[J]. Curr Med Chem, 26(24): 4506-4536.
- AN L, SUN PZ, 2020. Effects of artemisinin on activation of NF- κ B signaling pathway and NO synthesis in mouse macrophages induced by LPS[J]. J Zhengzhou Univ (Med Sci), 55(4): 504-508. [安莉, 孙丕忠, 2020. 青蒿素对脂多糖诱导的小鼠巨噬细胞 NF- κ B 信号通路激活和 NO 合成的影响[J]. 郑州大学学报（医学版），55（4）：504-508.]
- CAO J, YANG JN, ZHOU XQ, et al., 2020. Chemical constituents of *Psychotria hainanensis*[J]. Chem Nat Compd, 56(3): 533-534.
- Editorial committee of Quality Standard of Guizhou Traditional Chinese medicine and ethnic Medicine, 2003. Quality standards for Chinese medicinal materials and ethnic medicinal materials in Guizhou Province[S]. Guiyang: Guizhou Science and Technology Press: 85. [贵州省中药材、民族药材质量标准编审委员会，2003. 贵州省中药材、民族药材质量标准[S]. 贵阳：贵州科技出版社：85.]

- Editorial Committee of Flora Reipublicae Popularis Sinicae, CAS, 1985. Flora Reipublicae Popularis Sinicae (Volume 37) [M]. Beijing: Science Press: 315. [中国科学院中国植物志编辑委员会, 1985. 中国植物志 (第 37 卷) [M]. 北京: 科学出版社: 315.]
- HUANG YA, 2008. Studies on chemical constituent and antibacterial activity of *Potentilla kleiniana* Wight et Arn. [D]. Guiyang: Guizhou university. [黄易安, 2008. 蛇含委陵菜的化学成分及抑菌活性研究[D]. 贵阳: 贵州大学.]
- KHARLAMOVA TV, 2007. Reaction of frangula-emodin with α -bromoalkylmethylketones[J]. Chem Nat Compd, 43(4): 391-394.
- LUO YC, SUN QW, 2013. Natural medicines commonly used in Guizhou (Volume 2) [M]. Guiyang: Guizhou Science and Technology Press: 82-83. [罗迎春, 孙庆文, 2013. 贵州民族常用天然药物 (第 2 卷) [M]. 贵阳: 贵州科技出版社: 82-83.]
- LI SH, WU XJ, LIU YY, et al., 2011. Chemical constituents in *Potentilla kleiniana*[J]. Chin Trad Herb Drugs, 42(11): 2200-2203. [李胜华, 伍贤进, 牛友芽, 等, 2011. 蛇含委陵菜化学成分研究[J]. 中草药, 42 (11): 2200-2203.]
- LI SH, WU XJ, ZENG JY, et al., 2014. Antihyperglycemic effect of total flavonoids from *Potentilla kleiniana* Wight et Arn. *in vitro* and *in vivo*[J]. Food Sci, 35(11): 246-250. [李胜华, 伍贤进, 曾军英, 等, 2014. 蛇含委陵菜总黄酮的体外和体内降血糖效果研究[J]. 食品科学, 35 (11): 246-250.]
- LI S, KUANG HX, OKADA Y, et al., 2003. Studies on chemical constituents of *Bidens bipinnata* (I)[J]. Chin Trad Herb Drugs, 34(9): 782-785. [李帅, 匡海学, 冈田嘉仁, 等, 2003. 鬼针草化学成分的研究 (I) [J]. 中草药, 34 (9): 782-785.]
- LIU MZ, HUANG XQ, LIU Q, et al., 2019. Separation of α -glucosidase inhibitors from *Potentilla kleiniana* Wight et Arn. using solvent and flow-rate gradient high-speed counter-current chromatography target-guided by ultrafiltration HPLC-MS screening[J]. Phytochem Anal, 30(6): 661-668.
- LIU J, WANG ZT, 2005. Effect of neoandrographolide on activated mouse macrophages *in vitro*[J]. Chin J Nat Med, 3(5): 308-311. [刘峻, 王峥涛, 2005. 新穿心莲内酯对体外活化小鼠巨噬细胞的影响[J]. 中国天然药物, 3 (5): 308-311.]
- LIU T, LIAO XF, WU YT, et al., 2021. Research progress on anti-inflammatory effective components and mechanism of *Artemisiae argyi folium*[J]. Trad Chin Drug Res Clin Pharmacol, 32(3): 449-454. [刘涛, 廖晓凤, 吴燕婷, 等, 2021. 艾叶有效成分抗炎作用及其机制的研究进展[J]. 中药新药与临床药理, 32 (3): 449-454.]
- LUO C, LI Y, LONG JG, et al., 2016. Pharmacological effects of isoorientin[J]. Space Med Med Eng, 29(5): 381-384. [罗成, 李艳, 龙建纲, 等, 2016. 异荭草素的药理作用[J]. 航天医学与医学工程, 29 (5): 381-384.]
- PENG B, GAO ZP, HE W, et al., 2014. A new chromone glycoside from *Dryopteris fragrans* (II)[J]. Chin Trad Herb Drugs, 45(15): 2136-2138. [彭冰, 高增平, 何薇, 等, 2014. 香鳞毛蕨中 1 个新的色原酮苷 (II) [J]. 中草药, 45 (15): 2136-2138.]
- QU SY, WEI XD, SAI M, et al., 2020. Chemical constituents from *Rhodiola crenulate*[J]. Chin Trad Pat Med, 42(12): 3199-3023. [屈坤玥, 魏小东, 赛曼, 等, 2020. 大花红景天化学成分的研究[J]. 中成药, 42 (12): 3199-3023.]
- SUN XW, YAN HJ, ZHANG YJ, et al., 2019. Preparative separation of diterpene lactones and flavones from *Andrographis paniculate* using off-line two-dimensional high-speed counter-current chromatography[J]. Molecules, 24(3): 620.

- WAN SQ, LIU LY, LIU MS, et al., 2018. A study on the pharmacological mechanism of orientin [J]. J Med Res, 47(6): 183-186. [万思琦, 刘立亚, 刘梦思, 等, 2018. 荭草苷的药理作用机制研究[J]. 医学研究杂志, 47 (6) : 183-186.]
- WUBSHET SG, BRIGHENTE IMC, MOADDEL R, et al., 2015. Magnetic ligand fishing as a targeting tool for HPLC-HRMSSPE-NMR: α -glucosidase inhibitory ligands and alkylresorcinol glycosides from *Eugenia catharinae*[J]. J Nat Prod, 78(11): 2657-2665.
- WU Q, BANG MH, CHO JG, et al., 2013. Phenolic compounds from the roots of *Brassica rapa* ssp. *campestris*[J]. Chem Nat Compd, 49(5): 852-856.
- WU HX, WEI XY, FENG SX, et al., 2009. A study on the flavonoids of *Lespedeza hedysaroides* [J]. Acta Bot Boreal-Occident Sin, 29(9): 1905-1908. [吴洪新, 魏孝义, 冯世秀, 等, 2009. 尖叶胡枝子黄酮类化学成分的研究[J]. 西北植物学报, 29 (9) : 1905-1908.]
- YANG BY, LU ZK, LIU Y, et al., 2017. Isolation and identification of chemical constituents from stems of *Datura metel*[J]. Chin J Exp Trad Med Form, 23(17): 34-40. [杨炳友, 卢震坤, 刘艳, 等, 2017. 洋金花茎化学成分的分鉴定[J]. 中国实验方剂学杂志, 23 (17) : 34-40.]
- YIN HQ, FU HW, HUA HM, et al., 2006. Chemical constituents of *Saussurea lappa* C.B Clarke[J]. J Shenyang Pharm Univ, 23(10): 641-643. [尹宏权, 付红伟, 华会明, 等, 2006. 云木香的化学成分[J]. 沈阳药科大学学报, 23 (10) : 641-643.]
- YE C, JIN M, JIN CS, et al., 2020. Inhibitory effects of chemical constituents from *Actinidia kolomikta* on LPS-induced inflammatory responses[J]. Rev Bras Farmacogn, 30(1): 127-131.
- ZHOU X, SONG BA, JIN LH, et al., 2006 Isolation and inhibitory activity against ERK phosphorylation of hydroxyanthraquinones from rhubarb[J]. Bioorg Med Chem Lett, 16(3): 563-568.
- ZHANG CG, ZHOU J, WANG S, et al., 2018. Anti-inflammatory and antibacterial activity of *Potentilla kleiniana* ethyl alcohol extractive[J]. Cent South Pharm, 16(11): 1547-1552. [张晨光, 周晶, 王珊, 等, 2018. 蛇含委陵菜乙醇提取物的抗炎及抑菌活性研究[J]. 中南药学, 16 (11) : 1547-1552.]
- ZHANG JQ, LI JK, WANG Y, et al., 2021. Steroids constituents from *Codonopsis pilosula* and their anti-inflammatory activities[J]. Chin Trad Pat Med, 43(1): 92-97. [张俊卿, 李建宽, 王妍, 等, 2021. 潞党参甾体类成分及其抗炎活性[J]. 中成药, 43 (1) : 92-97.]